

東京理工専門学校 正会員 ○ 森田 興 司  
防衛大学校 正会員 加藤 清 志

1. まえがき

人工切り欠きを有するコンクリートはりの破壊強さ・破壊じん性を 応力拡大係数 (Stress intensity factor,  $K_I$  ( $\text{kg cm}^{-1.5}$ )) の概念により検討してきた。すでに前報<sup>1)~3)</sup>において、以下の事項を明らかにした。

- (1) 限界応力拡大係数 ( $K_c$ ) と切り欠き深さ比 ( $a/W$ ,  $a$ : 切り欠き深さ,  $W$ : 供試体高さ) との関係を設定数, 1次関数, 2次関数とした場合, 曲げ最大荷重 ( $P_{max}$ ) の推定曲線と実測値との関係から, いずれもほぼ同様な傾向を示しているが  $K_c$  を2次関数とした場合がもっとも適当である。
- (2)  $P_{max}/K_c$  と  $a/W$  との関係をも2次関数, 指数関数として近似させ, 比較・検討した結果, (1)と同様に  $K_c$  を2次関数とした場合がもっとも適当であった。
- (3) 純曲げに対する  $K_c$  の値は 一般に(1)式によって与えられている<sup>4)</sup>。

$$K_c = \frac{6M\sqrt{a}}{BW^2} \cdot Y \quad Y = 1.99 - 2.47(a/W) + 12.19(a/W)^2 - 23.17(a/W)^3 + 24.80(a/W)^4 \quad (1)$$

ここで  $M$ : き裂部の曲げモーメント  $B$ : 供試体の幅  $a, W$ : 前述

$$(1)式より \quad P_{max} = K_c \cdot \frac{BW^{1.5}}{\ell} \cdot \frac{1}{Y'} \quad Y' = Y \cdot (a/W)^{0.5} \quad (\ell: \text{スパン長}) \quad (2)$$

ここで  $P_{max}$  を実測値,  $K_c$  を2次関数と仮定し,  $Y'$  と  $a/W$  との関係をも1次関数, 2次関数として近似させたところ, 1次関数とした場合には 相関係数( $r$ )は  $0.995 \approx 1.0$  と高い直線性を示した。

以上をふまえて ここでは切り欠き部の有効断面を考慮した場合の曲げ強さ ( $\sigma_b$ ) と  $K_c$ ,  $a/W$  などの関係から, さらに適切な  $K_c$  の決定について検討した。

2. 実測値  $\sigma_b$  と  $a/W$  との関係

有効断面を考慮した場合の  $\sigma_b$  と  $a/W$  との関係を図-1に示す。  $a/W$  にかかわらずほぼ一定 ( $\approx 39.5\%$ ) ではあるが,  $P_{max}$  の場合と同様に, とくに  $a/W \approx 0.05$  付近以下の切り欠きに対しては, 潜在ひびわれの存在などから<sup>1)</sup>  $\sigma_b$  もほぼ一定である。

3. 平面ひずみ状態における  $\sigma_b$  と  $a/W$  との関係

平面ひずみ状態における  $\sigma_b$  は次式で与えられている<sup>5)</sup>。

$$\sigma_b = \frac{1}{\sqrt{\pi a}} \cdot \frac{W^2}{(W-a)^2} \cdot K_c = \frac{1}{\sqrt{\pi W}} \cdot \frac{1}{(a/W)^{0.5} (1-a/W)^2} \cdot K_c \quad (3)$$

ここで  $K_c$  を 定数, 1次関数, 2次関数とした場合の  $\sigma_b$  と  $a/W$  との関係を図-2に示す。  $a/W = 0.5$  を除き ほぼ実測値と同様な傾向を示しているが, 全体としては2次関数的傾向が見られる。

4.  $P_{max}/K_c$  を  $a/W$  の2次関数および指数関数とした場合

$K_c$  と  $a/W$  との関係をも2次関数として求めた  $\sigma_b$  と  $a/W$  との関係, および  $K_c$  を  $a/W$  の1次関数とした場合, ならびに  $K_c$  を定数とした場合を一括して図-3に示す。 いずれの場合も実測値の範囲内で ほぼ同様な傾向を示すことがわかる。

また,  $P_{max}/K_c$  を  $a/W$  の指数関数とした場合について図-4に併記した。図-2と図-4とを比較すると, 平面ひずみ状態における  $\sigma_b$  と  $a/W$  との関係は きわめてよく類似した傾向を示していることがわかる。

5.  $Y'$  を  $a/W$  の2次関数および1次関数とした場合

$K_c$  および  $Y'$  を2次関数とした場合を図-5に, さらに  $Y'$  を1次関数とした場合をも同図に併記した。

$a/W = 0$  を除き 実測値の平均には近い傾向を示している。なお  $a/W = 0$  で近似度が悪いのは 本来破壊じん性計算式がひびわれを含むものを前提としていることに起因するものと思われる。

6. むすび

以上から,  $\sigma_b$  と  $a/W$  との関係は  $P_{max}/K_c$  を  $a/W$  の2次関数として表わした場合,  $Y'$  を  $a/W$  の2次関

数および1次関数とした場合とも有効であることを確認した。また、 $P_{max}/K_c$  を  $a/W$  の指数関数とした場合は、平面ひずみ状態の理論式から求めた場合とはよく一致することがわかった。

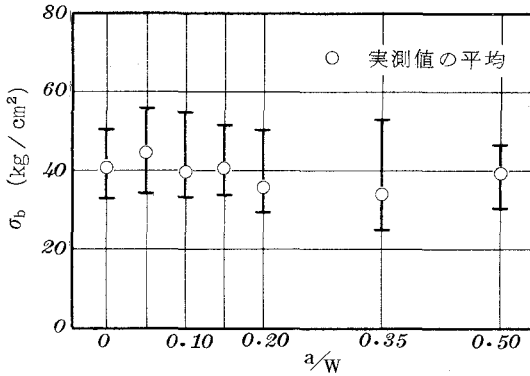


図-1  $\sigma_b$  と  $a/W$  との関係

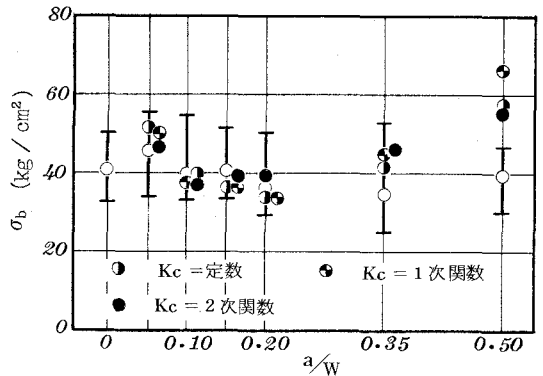


図-2  $\sigma_b$  と  $a/W$  との関係

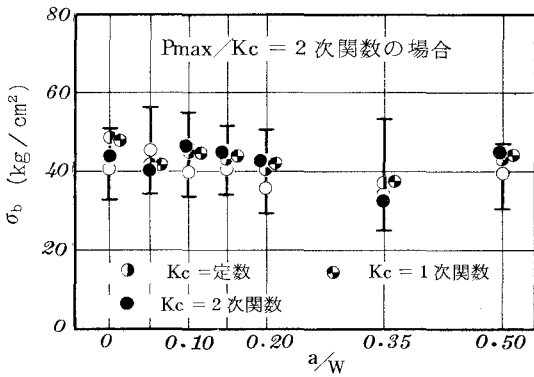


図-3  $\sigma_b$  と  $a/W$  との関係

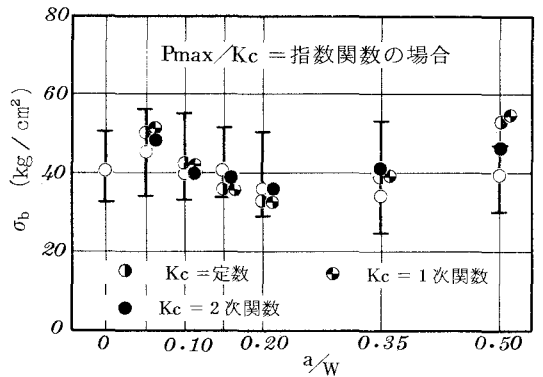


図-4  $\sigma_b$  と  $a/W$  との関係

## 7. あとがき

人工軽量骨材を用いた場合については次報にゆずる。

なお、本実験には 防大 堀越 技官・同 鶴田非常勤職員の助力を得た。

付記して謝意を表す。

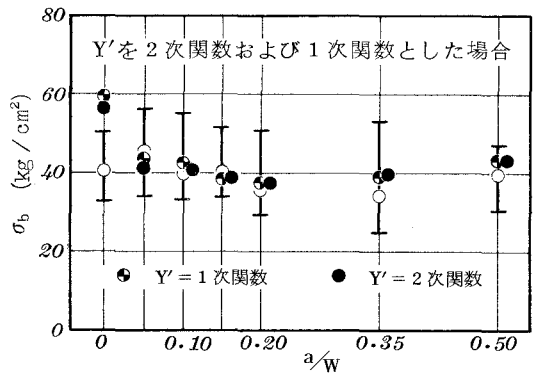


図-5  $\sigma_b$  と  $a/W$  との関係

## 8. 参考文献

- 1) 森田・加藤：コンクリートの破壊じん性とAE評価に関する基礎的研究(第1報)，32回年講5，s.52.10, pp.9~10.
- 2) 森田・加藤：コンクリートの破壊じん性とAE評価に関する基礎的研究(第2報)，5回関支年講，s.53.1, pp. 217~218.
- 3) 森田・加藤：コンクリートの破壊じん性とAE評価に関する基礎的研究(第3報)，33回年講5，s.53.9, pp. 5~6.
- 4) Brown, W. F. et al.: Plane Strain Crack Toughness Testing of High Strength Metallic Materials, ASTM STP No. 410, 1966.
- 5) Tetelman, A. S. and Mc Evily, A. J., Jr.: Fracture of Structural Materials, John Wiley and Sons, 1967, p.53.